

بررسی فضایی پادگانه‌های حوضه قزل اوزن در ارتباط با تکتونیک و تغییرات آب‌وهوایی

غلامحسن جعفری^{۱*}، مهدی عباسی^۲

^۱دانشیار رئومورفولوژی گروه جغرافیا، دانشگاه زنجان

^۲کارشناس ارشد هیدرولوژی رئومورفولوژی دانشگاه زنجان

تاریخ دریافت: ۹۵/۱۰/۳؛ تاریخ پذیرش: ۹۸/۵/۱۹

چکیده

پادگانه‌های رودخانه‌ای توسط رئومورفولوژیست‌ها به عنوان یکی از لندفرم‌های محیط‌های آبرفتی و میراثی از چینه‌شناسی، به منظور درک شرایط تکتونیکی و آب‌وهوایی به طور گسترده مورد بررسی قرار می‌گیرد. رودخانه قزل اوزن به عنوان یکی از طویل‌ترین سیستم‌های رودخانه‌ای کشور به شرایط اقلیمی، لیتو‌لوزیکی و تکتونیکی به خوبی پاسخ داده است. برای بررسی تأثیر آب‌وهوای پادگانه‌های این رودخانه، با استفاده از نقشه‌های توپوگرافی و زمین‌شناسی منطقه، نرم‌افزارهای رایانه‌ای Arc GIS, Global Mapper & Excel و داده‌های اقلیم‌شناسی، نقشه‌های هم‌دما و هم‌بارش ترسیم گردید. با استفاده از آثار سیرک‌های یخچالی باقی‌مانده در نقشه‌های توپوگرافی زنجان، قرنقوچای و کردستان، ارتفاع برف مزدی دائمی کواترنری، به روش‌های رایت و پورتر برآورد شد. نقشه‌های هم‌دما و هم‌بارش گذشته، با استفاده از آnomالی حرارتی و رطوبتی ترسیم گردید. بررسی پادگانه‌ها در بالاتر و پایین تر از خط تعادل آب و بیخ گذشته دال بر این است که تأثیر یخچال بر شکل‌گیری پادگانه‌ها بستگی به وضعیت ارتفاعی اطراف حوضه داشته است. ارتفاع برآورد شده از روش رایت و ارتفاع کف سیرک پورتر حاکی از آن است که حدود ۷/۵ درصد مساحت حوضه در دوره‌های سرد کواترنری تحت تأثیر فرایند یخچالی بوده است. بر اساس ارتفاع خط تعادل آب و بیخ، در آن زمان، ۶۵ درصد از حوضه، تحت تسلط فرایند مجاور یخچالی، امکان متأثر شدن از جریان یخچالی منشعب شده از سیرک را داشته است، اما شواهد میدانی حاکی از آن است که فقط یخچال‌های تغذیه‌شده از کوههای مرتفع توanstه‌اند در شکل‌گیری دره‌های U شکل و تراس‌های آبرفتی نقش داشته باشند. در زیر حوضه‌های زنجان رود، انطباق آبراهه‌ها و زبانه‌های یخچالی بر گسل‌های منطقه، دره‌های آبی-یخچالی-تکتونیکی را ایجاد کرده است که هرچند نسبت به دره‌های واقع در سراب قزل اوزن عمق کمتر دارند ولی تفاوت ارتفاعی آن‌ها نسبت به دشت‌های منطقه به گونه‌ای است که می‌توان آن‌ها را به عنوان نمادی از آشوب منطقه دانست.

واژه‌های کلیدی: آب‌وهوای پادگانه‌های یخچالی-تکتونیکی، قزل اوزن.

تدریجی سطح خشکی باعث می‌شود که سطح اساس رودخانه‌ها نسبت به حالت تعادل اولیه خود پایین رفته و حفر بیشتری در حوضه صورت گیرد. افت سطح اساس حاصل از فعالیت یک گسل فعلی، موجب افزایش شتاب فروسایی در بالادست و انباستگی ضخیم رسوبات در پایین‌دست می‌شود (یمانی و همکاران، ۱۳۹۰: ۶۴). در بازه کوهستانی رودخانه قزل اوزن، مسائل

مقدمه

طرح مسئله: قزل اوزن نامی است ترکی مرکب از دو جزء «قزل» به معنای «سرخ» یا «طلاء» و «اوزن» به معنای «شناور» (بایگان، ۱۳۸۷: ۹۹). در تشکیل و توسعه پادگانه‌های رودخانه قزل اوزن عوامل مختلف اقلیمی و تکتونیکی دخالت داشته‌اند. فراخاست

۲۰۸). هدف این مقاله بررسی پادگانه‌های آبرفتی قزل‌اوزن، با دیدگاه فضایی و با توجه به آثار و شواهد رئومورفولوژیکی ناشی از تحولات کواترنری است. تحولات کواترنری با فرآیندهای تکتونیکی، اقلیمی، سطح اساس و جنس سنگ‌های بستر در ارتباط بوده و قابل توجیه و تفسیر است. وجود پادگانه‌های آبرفتی قزل‌اوزن در بخش‌های مختلف آن، این مسئله را مطرح می‌سازد که تمامی پادگانه‌های آبرفتی برای رودخانه، تغییرات سطح اساس (دریای خزر) ایجاد نشده‌اند، چراکه با توجه به توپوگرافی ناهموار نیمرخ طولی رودخانه، پیدایش و تکامل پادگانه‌های آبرفتی برای تغییر سطح اساس دریای خزر، به اولین محور کوهستانی محدود می‌شده، در صورتی که پادگانه‌های آبرفتی در قسمت‌های مختلف قزل‌اوزن دیده می‌شود.

مبانی نظری: پادگانه‌های آبرفتی یکی از اشکال مشخص فراسایش آب‌های روان در حاشیه‌های رودخانه‌ها است (محمودی، ۱۳۸۳: ۱۱۶). آن‌ها اغلب به عنوان دشت‌های سیلابی رهاسده تعریف می‌شوند که دیگر فعال نیستند (مُدی و مید، ۲۰۰۸: ۳۸۷). آن‌ها سطوح نسبتاً مسطح و صافی هستند که در ارتفاع بلندتر از بستر اصلی و در کنار هم کشیده شده‌اند (آلبرتی و همکاران، ۲۰۱۳: ۵۹). تغییرات متناوب آب‌وهوایی در ادوار گذشته به صورت دوره‌های مرتبط متناوب خشک و مرطوب بوده، در دوره‌های مرطوب قدرت آب بیشتر شده و بستر بزرگ را درست می‌کند، در دوره‌های خشک، برعکس، بستر باریکی در بستر بزرگ رودخانه شکل می‌گیرد. بین این دو بستر نوار طویل و معمولاً باریکی در دو طرف رودخانه ایجاد می‌شود، به این گونه پادگانه‌ها، «پادگانه‌های اقلیمی» می‌گویند (نگارش، ۱۳۹۱: ۱۵۷). تغییرات آب‌وهوایی سبب کاهش یا افزایش پوشش گیاهی شده و می‌تواند نوساناتی در رواناب و بار رسوی رودخانه‌ها ایجاد کند و سرانجام تغییراتی را در فرآیندها و اشکال آبرفتی به وجود آورد (کرمی و رجائی، ۱۳۸۳: ۶۸، به نقل از لی وین، ۱۹۹۷؛ رئا، ۱۹۹۳). تغییرات اقلیمی تأثیرات

زمین‌ساختی حائز اهمیت است و هندسه‌ی بستر تحت تأثیر پارامترهای زمین‌ساختی از قبل طراحی شده است و الگوی مسیر رودخانه از این عوامل تعیین می‌کند (رضایی مقدم و همکاران، ۱۳۹۱: ۱). با کمی دقیق در نقشه زمین‌شناسی این حوضه، گسل‌های زیادی را می‌توان مشاهده کرد که با توجه به جهت و میزان جابجایی و موقعیت آن‌ها در حوضه، به نحوی پادگانه‌های این رودخانه را متأثر ساخته است. عامل دیگر مؤثر بر شکل گیری و تحول پادگانه‌های این رودخانه، تغییرات سطح اساس دریایی خزر است. در سواحل دریایی خزر شواهد رئومورفولوژیکی زیادی ناشی از نوسان سطح اساس کواترنری وجود دارد. مشخص ترین آثار، پادگانه‌های ساحلی و رودخانه‌ای وابسته به این تغییرات است. پادگانه‌های ساحلی خزر در ارتفاع بین ۳۵-۲۰۰ متر از سطح دریایی آزاد قرار دارند. طبق بررسی‌های اهلرز^۱ (۱۹۷۴)، ۱۲ پادگانه در سواحل جنوبی بین ارتفاع ۱۶-۲۱۰ متر وجود دارد (جداری عیوضی، ۱۳۸۳: ۸۰). بدیهی است که این میزان نوسان سطح دریا، باعث تحمیل اعمال رسوب‌گذاری و برش رودخانه‌ای شده و در نتیجه در شکل گیری پادگانه‌های آبرفتی به ویژه در بخش سفلای قزل‌اوزن (طارم) شده است. علاوه بر تغییرات سطح اساس مربوط به دریای خزر، از تغییرات سطح اساس درون حوضه‌ای نیز نباید غافل شد. در قزل‌اوزن چندین ژئونرون^۲ شناخته شده است. منظور از ژئونرون‌ها در شبکه‌های زهکشی رودخانه‌ای، فضاهایی است که سبب اجتماع رواناب‌ها در محدوده خاصی می‌شود (رامشت، ۱۳۸۵). تغییرات آب و هوایی در طی دوره‌ی کواترنری سومین عامل مهمی است که با فراسایش بستر رودخانه قزل‌اوزن در ایجاد پادگانه نقش داشته است. نوسانات اقلیمی کواترنری هولوسن سبب تغییر شرایط فراسایشی رودخانه‌ها شده و اثر آن به صورت رسوب مواد با ویژگی‌های متفاوت آلی و کانی، شکل گیری پادگانه‌های رودخانه‌ای و مخروطهای افکنه دیده می‌شود (مقیمی، ۱۳۸۹:

3. Li and Ynn

4. Rhea

1. Ehlers

2. Geoneron

گردهشناسی در پادگانه‌های بخش میانه و پایین رودخانه‌ی آگاس^۱ در جنوب شرقی اسپانیا به این نتیجه رسیدند که پادگانه‌ها انعکاسی از تغییرات آب‌وهوا در مقیاس کوتاه‌مدت هستند. لوین و گیبارد^۲ (۲۰۱۰) در بررسی رسوبات، فرم‌ها و فرآیندهای کواترنری رودخانه‌ای در جنوب و شرق انگلستان به این نتیجه رسیدند که پادگانه‌ها در آخرین چرخه یخبندان میان دو یخبندان برادر فرسایش و رسوب در سنگ بستر ایجاد شده‌اند. یوگور^۳ (۲۰۱۱) به کنترل عامل آب‌وهوا بی‌در تشكیل پادگانه طولانی‌ترین رودخانه قزل آیرماق^۴ به طول ۱۳۵۵ کیلومتر در کشور ترکیه اشاره کرده و به این نتیجه رسیده است که برش اصلی دره در طول دوره‌ی سرد و رسوب‌گذاری در طول دوره‌ی گرم، باعث شکل‌گیری پادگانه شده است. دانا و همکاران^۵ (۲۰۱۲) به بررسی پادگانه‌های بزرگ ترین سیستم رودخانه‌ای کشور چک پرداخته‌اند و تشكیل پنج سطح پادگانه حوضه را حاصل فرآیندهای کنترل اقلیمی و نئوتکتونیک در اوخر دوران سنوزوئیک می‌دانند. هرفried و همکاران^۶ (۲۰۱۲) آب‌وهوا و زمین‌ساخت را در توسعه سیستم پادگانه‌های رودخانه‌ی آگنون^۷ در شرق فرانسه مؤثر می‌دانند. مارتین و همکاران^۸ (۲۰۱۲) در برآورد جریان‌های قدیمی رودخانه‌ی ریوآلمندورا^۹ در جنوب شرقی اسپانیا به کمک رسوبات درشت‌دانه‌ی پادگانه‌ها، افزایش حجم رسوبات و پوشش گیاهی کم پادگانه‌ها را به زمان انتقال دوره یخبندان به بین یخبندان نسبت می‌دهند. ویون و همکاران^{۱۰} (۲۰۱۳) به بازسازی اثرات متقابل سطح اساس، آب‌وهوا و تکتونیک در شکل‌گیری پادگانه‌های بخش سفلای رودخانه مینو^{۱۱}

متفاوتی می‌تواند بر سامانه‌های رودخانه‌ای داشته باشد. به‌طور مثال، تغییر اقلیم از مرتبط به نیمه‌خشک یا به شدت فصلی، بالاترین افزایش بار رسوبی را خواهد داشت؛ اما تغییر اقلیم از مرتبط به نیمه مرتبط یا خیلی مرتبط، ممکن است اثر کمتری در تغییرات دبی رسوب داشته باشد. از سوی دیگر تغییرات اقلیمی مرتبط به خشک، عمل رسوب‌دهی را به شدت کاهش می‌دهد. تغییرات اقلیمی، بسیار سریع تر از زمین‌ساخت و تغییر سطح اساس ناشی از آن روی می‌دهد؛ پاسخ رود نیز به همان نسبت، سریع تر است (یمانی و همکاران، ۱۳۹۰: ۶۶ به نقل از لنگبین و شوم^۱، ۱۹۵۸). تغییرات سطح اساس می‌تواند مسافت زیادی تا بالادست رودخانه را تحت تأثیر قرار دهد، درصورتی که تغییر اقلیم می‌تواند بر روی کل سامانه آبراهه، اثرگذار باشد (یمانی و همکاران، ۱۳۹۰: ۶۶ به نقل از استنلی و شوم^۲، ۲۰۰۵). در پدیده اقلیمی، تغییر دبی رواناب‌ها یا تغییر در مقدار تبخیر حوضه‌های آبی کناری و در نتیجه بازهم تغییر در سطح اساس جریان‌ها، نسبت انتقال و اندازه مواد را تغییر می‌دهد و با کم شدن دبی یا افزایش تبخیر، رودخانه فقط در بستر کوچک تری جریان می‌یابد و بستر اصلی و پادگانه‌ها در کنار آن می‌مانند (معتمد، ۱۳۸۲: ۲۰۴).

در ارتباط با پادگانه‌ها تحقیقات فراوانی انجام شده که به پاره‌ای از آن‌ها اشاره می‌شود. مدد و همکاران^۳ (۲۰۰۰) برش بستر رودخانه در طی کواترنری را انعکاس پاسخ به تغییرات خارجی، مانند آب‌وهوا، تکتونیک و یا تغییر سطح اساس دانسته‌اند. دیوید و راب^۴ (۲۰۰۸) با مقایسه نحوه ترتیب تراس‌های رودخانه‌ای سراسر جهان به این نتیجه رسیدند که انحراف محور زمین از ۴۱ kyr به چرخه ۱۰۰ kyr باعث ایجاد پادگانه در بسیاری از رودخانه‌های جهان شده است. لودر و همکاران^۵ (۲۰۰۸) در بررسی شواهد

-
- 6. Aguas
 - 7. Lewin and Gibbard
 - 8. Ugur
 - 9. Kizilirmak
 - 10. Dana et al.
 - 11. Herfried et al.
 - 12. Ognon
 - 13. Martin et al.
 - 14. Rio Almanzora.
 - 15. Viveen et al.
 - 16. Mino

-
- 1. Langbin and Schumm
 - 2. Stanley and Schumm
 - 3. Maddy et al.
 - 4. David and Rob
 - 5. Lother et al.

پادگانه‌های دوره کواترنری حوضه آبخیز طالقان با روش سن سنجی لومینسنس حرارتی^۷ به این نتیجه رسیده‌اند که با تعیین سن پادگانه‌ها می‌توان پتانسیل هر پادگانه را برای کاربری‌های مختلف از جمله کشاورزی، منابع طبیعی، آبخوان‌داری، توسعه‌ی شهرها و ... تعیین نمود. فروتن و همکاران (۱۳۸۹) بر اساس ویژگی‌های رسوبی- چینه‌ای شمال شهرستان مروست، سه پادگانه آبرفتی اصلی را شناسایی کرده و سن آن‌ها را با استفاده از سن سنجی به روش لومینسنس نوری، به ترتیب ۴۳، ۴۲ و ۲۲ هزار سال برآورد نمودند. داودی و همکاران (۱۳۹۱) با شناسایی سه پادگانه آبرفتی در مسیر زاینده‌رود، با توجه به جور شدگی ضعیف و چولگی متفاوت رسوبات، نتیجه گرفتند که عامل ایجاد این شرایط، تغییر رژیم رودخانه در اثر تغییر در شرایط آب‌وهوایی است. عابدینی و رحیمی (۱۳۹۲) با پایش پادگانه‌های رودخانه قزل‌اوزن در بخش علیا، محدوده‌ی شهرستان‌های دیوان دره و بیجار در استان کردستان، تعداد ۹ پادگانه را شناسایی کردند و با تشخیص چهار مرحله رسوب‌گذاری C-A-B-C-D، به این نتیجه رسیدند که مراحل A و C پادگانه، در شرایط آب‌وهوایی سرد و معتدل یا خشک و مراحل B و D در شرایط آب‌وهوایی گرم و مرطوب‌تر ایجاد شده‌اند. تیموری یانسری و همکاران (۱۳۹۷) با بررسی زمین‌لغزش حوضه آبخیز چهاردانگه نتیجه گرفتند که مدل توالی بهترین برآش را با داده‌های مشاهده‌ای داشته و مقادیر حجم برآورد شده همخوانی نسبتاً مناسبی با مقادیر مشاهده‌ای داشته است.

روش تحقیق

شناسایی فرم پادگانه‌های آبرفتی و نوع آن‌ها، مهم ترین مرحله پنهان‌بندی این لندرفرم ژئومورفولوژیکی در این تحقیق است. برای این کار با استفاده از نرم‌افزار رایانه‌ای GIS، از DEM 30×30 قزل‌اوزن به فاصله یک متری و با بافر ۲ کیلومتر از رودخانه، خطوط هم ارتفاع استخراج گردید (شکل ۱). با توجه به تغییر

پرداخته و به این نتیجه رسیده‌اند که تغییر سطح اساس به دلیل ایزوستازی- یخچالی همراه با بالآمدگی تکتونیکی، نیروهای محرك اصلی برش دره و تشکیل پادگانه‌های منطقه را فراهم نموده‌اند. ریمپال و همکاران^۱ (۲۰۱۴) شرایط آب‌وهوایی را کنترل کننده ویژگی ظاهری رسوبات کواترنری مخروط‌افکنه می‌شالی^۲ و همبستگی آن‌ها با پادگانه‌ها دانسته‌اند. وی لیانگ و همکاران^۳ (۲۰۱۴) به پایش شرایط اقلیمی مؤثر در تشکیل پادگانه‌های رودخانه‌ای در امتداد کوهپایه‌های جنوبی تیان شان^۴ که منطقه‌ای فعال از نظر تکتونیکی است، پرداخته‌اند و این دو عامل را کنترل کننده بردارهای رسوبی و ایجاد پادگانه دانسته‌اند. راهول و ویمال^۵ (۲۰۱۴) در بررسی رسوبات پادگانه‌ی آلاکلاندا، فرآیندهای محلی را عامل اصلی تجمع رسوبات داشته‌اند.

پژوهشگران داخلی نیز در مناطق مختلف توجه خاصی به بررسی پادگانه‌های آبرفتی داشته‌اند که به برخی از آن‌ها اشاره می‌شود. ترابی و کریمیان اقبال (۱۳۸۱) تکامل خاک در یک ردیف زمانی را بر روی پادگانه‌های حاشیه سفیدرود در گیلان مرکزی بررسی کرده و موفق به شناسایی سه پادگانه‌ها شده‌اند. کرمی و رجائی (۱۳۸۳) با رسم نیمرخ طولی پادگانه‌ها در بستر فعلی وانق‌چای و اسب فروشان‌چای به این نتیجه رسیده‌اند که جایجایی پادگانه‌ها بر اثر فعالیت گسل‌های منطقه بوده است. حیدری و مقيیمی (۱۳۸۶) در بررسی تأثیر جنس زمین‌شناسی در تشکیل پادگانه‌های آبرفتی، در طول سواحل رودخانه‌ی قرنقوچای به این نتیجه رسیده‌اند که سواحل در جنس زمین‌شناسی سخت و مقاوم، به صورت دیواره یا شیب تند شبیه آب‌شکن هست؛ در صورتی که در سواحل با جنس زمین‌شناسی سست، چندین پادگانه قابل تشخیص است. معینی و همکاران (۱۳۸۸) در تحقیق خود با بررسی سن دقیق

1. Rimpal et al.
2. Matiali fan.
3. Wei-liang et al.
4. Tianshan.
5. Rahul and Vimal.
6. Alaknanda.

7. Thermoluminscence.

داده‌های همسان‌سازی شده‌ی ۲۹ و ۸۴ ایستگاه خارج و داخل حوضه قزل‌اوزن مثل گیلوان، دندی، سلطانیه، زنجان، قیدار، دهگلان و غیره استفاده گردید (شکل ۳). بین دما (Y) و ارتفاع (x)، همچنین بارش(Y) و ارتفاع (x) ایستگاه‌ها، روابط رگرسیونی برآورده شد (روابط ۱ و ۲). با استفاده از این روابط، نقشه هم‌دما و هم‌بارش حوضه در محیط جی‌آی‌اس ترسیم و بررسی گردید.

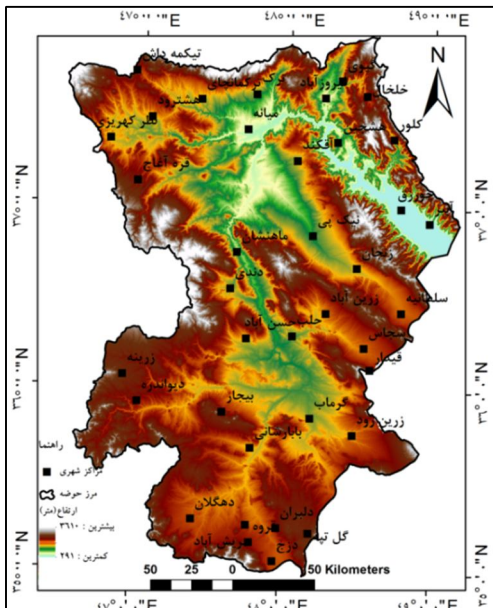
رابطه (۱): دما

$$Y = -0.0045x + 18.06 \quad R^2 = 0.84$$

رابطه (۲): بارش

$$Y = 0.2008x - 36.603 \quad R^2 = 0.75$$

تراکم خطوط منحنی میزان در اطراف رودخانه اصلی و سرشاخه‌های قزل‌اوزن، مکان‌های احتمالی پادگانه‌ها شناسایی شد و در بازدیدهای میدانی، وضعیت پادگانه‌ای آن‌ها مورد بررسی قرار گرفت. به این طریق که پادگانه‌های تأییدشده با GPS، موقعیت‌یابی شدند و با توجه به مختصات آن‌ها در روی نقشه‌های توپوگرافی ۱/۵۰۰۰۰، زمین‌شناسی ۱/۱۰۰۰۰۰ DEM منطقه، توزیع آن‌ها در پهنه‌های اقلیمی حال و گذشته، لیتوژوژی و گسل بررسی گردید. با استفاده از نرم‌افزار Global Mapper در امتداد نقاط و عمود بر رودخانه نیمرخ عرضی زده شد و پروفیل‌های حاصله مورد تحلیل قرار گرفت. برای بررسی شرایط اقلیمی از



شکل ۱: مدل رقومی ارتفاع حوضه آبریز قزل‌اوزن

گردید. آثار سیرکی شناسایی شده در تصاویر Google earth و مطالعات میدانی، ردیابی شد و سیرک‌های تأیید شده بر اساس ارتفاع مدخل خروجی، در نرم‌افزار Excel، به صورت نزولی مرتب گردید. با محاسبه ارتفاعی که ۷۶٪ از سیرک‌ها بالاتر از آن قرار دارند، ارتفاع برف مرز دائمی کواترنری برآورد می‌شود (نعمت‌الهی و رامشت، ۱۳۸۴). پورتر در مطالعات عرض‌های جغرافیایی پایین از پنج روش برای بازسازی ارتفاع خط تعادل (ELA) استفاده نموده است. این پنج روش عبارتند از: ارتفاع کف سیرک، بررسی یخ‌رفته‌ای

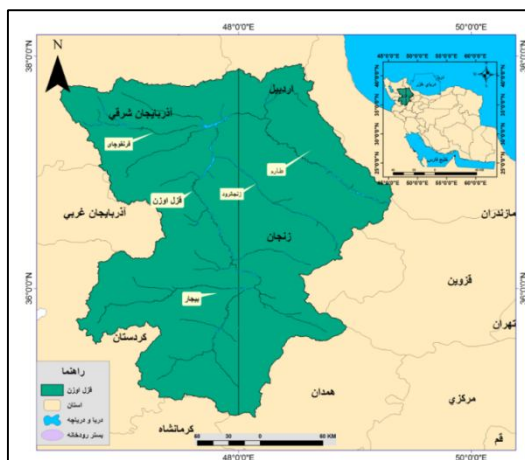
در بررسی اقلیم کواترنری منطقه با توجه به وضعیت پراکندگی سیرک‌های یخچالی در چند زیرحوضه منتهی به بالاترین قله‌های قزل‌اوزن، به دو روش رایت و پورتر، ارتفاع برف مرز دائمی برآورد شد و بر اساس آن ارتفاع وضعیت اقلیمی گذشته بازسازی گردید. نقشه‌های توپوگرافی به وضوح شرایط توپوگرافی، عوارض و ناهمواری‌ها را به صورت خطوط منحنی میزان نشان می‌دهد. در روش رایت، ابتدا با استفاده از شاخص‌های مورفولوژیک آثار سیرک‌های یخچالی گذشته در نقشه‌های توپوگرافی شناسایی

چشمۀ کردستان بوده و با طولی بالغ بر ۵۵۰ کیلومتر پس از عبور از استان‌های زنجان، آذربایجان شرقی و اردبیل ضمن دریافت شاخه‌های متعدد در طول مسیر، در استان گیلان با رودخانه شاهروود تلاقي و وارد مخزن سفیدرود می‌گردد. وسعت حوضۀ آبخیز آن نزدیک به ۴۹۴۰۰ کیلومترمربع است (رضایی مقدم و همکاران، ۱۳۹۱: ۴). این رودخانه بین استان کردستان، زنجان، آذربایجان شرقی، اردبیل، همدان و بخش کوچکی از استان‌های قزوین، آذربایجان غربی و گیلان قرار گرفته و در عرض‌های جغرافیایی ۳۴ درجه و ۵۵ دقیقه تا ۳۷ درجه و ۵۵ دقیقه شمالی و ۴۶ درجه و ۲۷ دقیقه تا ۴۹ درجه و ۲۰ دقیقه طول شرقی گستردۀ شده است (شکل ۲).

جانبی قسمت بالای دره، آستانه یخ‌بندان، نسبت‌های ارتفاعی و نسبت مساحت تجمعی (یمانی و همکاران، ۱۳۹۰؛ ابطحی ۱۳۹۲؛ شریفی و فرخ‌خش، ۱۳۹۴) از میان این روش‌ها، با توجه به بارز بودن شواهد کف سیرک برای حوضه قزل‌اوزن از روش ارتفاع کف سیرک استفاده شد. با توجه به اثرگذاری ارتفاع خط تعادل آب ویخ کواترنری در رفتار ژئومورفولوژیکی لندفرم‌ها، در بررسی‌های میدانی، این ارتفاع نیز برآورد شد.

محدوده و قلمرو پژوهش

سیستم رودخانه‌ای قزل‌اوزن در شمال غرب کشور، یکی از سیستم‌های رودخانه‌ای خزر است که در دوره‌های اخیر زمین‌شناسی دچار تحولات زیادی شده است. سرچشمۀ رودخانه قزل‌اوزن از ارتفاعات چهل



شکل ۲: موقعیت جغرافیایی حوضۀ آبریز قزل‌اوزن

حاصله، به عنوان ارتفاع برف مرز دائمی کواترنری در نظر گرفته شد (جدول ۱).

میانگین ارتفاع برف مرز دائمی در سه زیرحوضه زنجان رود، قرنقوچای و کردستان ۲۳۱۰ متر است. در روش پورتر پس از آماده کردن جدول (۲) از رابطه (۳) به منظور محاسبه نما یا مد استفاده گردید (سیف و همکاران: ۱۳۹۳). ارتفاع برف مرز در روش پورتر ۲۳۷۶ متر برآورد شد که پورتر بیشتر از روش رایت است. این تفاوت‌ها همان‌گونه که پورتر نیز در پنج روش محاسبه برف مرز دائمی ذکر می‌کند ناشی از

بحث

پادگانه‌های یخچالی و یخچالی- تکتونیکی حوضه آبریز قزل‌اوزن: برای بررسی این موضوع به کمک نقشه‌های توپوگرافی موزاییک شده، تصاویر Google Earths و مشاهدات میدانی، آثار سیرک‌های یخچالی حوضه‌های آبریز زنجان رود، قرنقوچای و مناطق کوهستانی جنوب قزل‌اوزن در کردستان شناسایی گردید. سپس در یک جدول ارتفاع نقاط سیرکی شناسایی شده به صورت نزولی مرتب گردید و تعداد سیرک‌ها در ۰/۶ ضرب شد و ارتفاع ردیف

تفاوت در شیوه روش‌ها است (نقل از یمانی و همکاران، ۱۳۹۰؛ ابطحی، ۱۳۹۲).

جدول ۱: برآورد ارتفاع برف مرز به روش رایت و فراوانی ارتفاعی سیرک‌ها

زیرحوضه	ارتفاع برف مرز	طبقه ارتفاعی	تعداد سیرک
زنجان رود	۱۸۰۰-۱۹۰۰	۲۱۰۰-۲۲۰۰	۹
	۱۹۰۰-۲۰۰۰	۲۲۰۰-۲۳۰۰	۱۳
	۲۰۰۰-۲۱۰۰	۲۳۰۰-۲۴۰۰	۱۴
	۲۱۰۰-۲۲۰۰	۲۴۰۰-۲۵۰۰	۱۱
	۲۲۰۰-۲۳۰۰	۲۵۰۰-۲۶۰۰	۱۲
	۲۳۰۰-۲۴۰۰	۲۶۰۰-۲۷۰۰	۴
	۲۴۰۰-۲۵۰۰	۲۷۰۰-۲۸۰۰	۲
	۲۵۰۰-۲۶۰۰	۲۰۰۰-۲۱۰۰	۶
کردستان (سراب قزل‌اوزن)	۲۵۰۰-۲۶۰۰	۲۱۰۰-۲۲۰۰	۱۲
	۲۶۰۰-۲۷۰۰	۲۲۰۰-۲۳۰۰	۱۸
	۲۷۰۰-۲۸۰۰	۲۳۰۰-۲۴۰۰	۸
	۲۸۰۰-۲۹۰۰	۲۴۰۰-۲۵۰۰	۶
	۲۹۰۰-۳۰۰۰	۲۵۰۰-۲۶۰۰	۱
	۳۰۰۰-۳۱۰۰	۲۱۰۰-۲۲۰۰	
	۳۱۰۰-۳۲۰۰	۲۲۰۰-۲۳۰۰	
	۳۲۰۰-۳۳۰۰	۲۳۰۰-۲۴۰۰	
	۲۴۰۰-۲۵۰۰	۲۰۰۰-۲۱۰۰	
	۲۵۰۰-۲۶۰۰	۲۱۰۰-۲۲۰۰	

رسوبات و انباشت آن‌ها در مسیر جریان، بستر اولیه ایجاد پادگانه‌ها فراهم شده است. از طرفی در طول انتقال هوای سرد به گرم، تراکم کم پوشش گیاهی، افزایش دبی رودخانه‌ها ناشی از بارش، ذوب برف، ذوب پرمافروست و ذوب شدن لایه‌های یخ، شرایط تحول پادگانه‌ها را فراهم می‌نموده است (دیوید و راب، ۱۱۵: ۲۰۰۸).

وسعت بیشتر مناطق پایین تر از خط تعادل آب‌ویخ، شرایط مناسبی برای تشکیل پادگانه فراهم می‌کند. بارش جامد بالاتر از خط تعادل آب‌ویخ در حین بارش و زمان بعدازآن، کمتر از منطقه خارج می‌شود و با ذوب تدریجی در زمین نفوذ کرده و از طریق چشمه‌ها و آبهای زیرزمینی به آرامی در اختیار رودخانه‌ها قرار می‌گیرد. این مسئله به آب اجازه حمل مواد به صورت یکجا و در حجم بالا را نمی‌دهد و عدم تشکیل پادگانه را در پایاب این رودخانه‌ها توجیه می‌کند. در راستای یافته‌های جعفری و اصغری سرکانسرودی (۱۳۹۳) و مستندات میدانی خط تعادل آب‌ویخ در ارتفاع ۱۶۷۰ متری قرار دارد، دمای این خط در حال حاضر $10^{\circ}/7$ درجه سانتی‌گراد و در گذشته سه درجه سانتی‌گراد بوده است. درمجموع از کل مساحت ۵۰ هزار کیلومترمربعی حوضه مورد مطالعه، ۳۲۴۹۵

تفاوت ۶۶ متری ارتفاع برف مرز ناشی از تفاوت شیوه روش رایت و ارتفاع کف سیرک پورتر است.

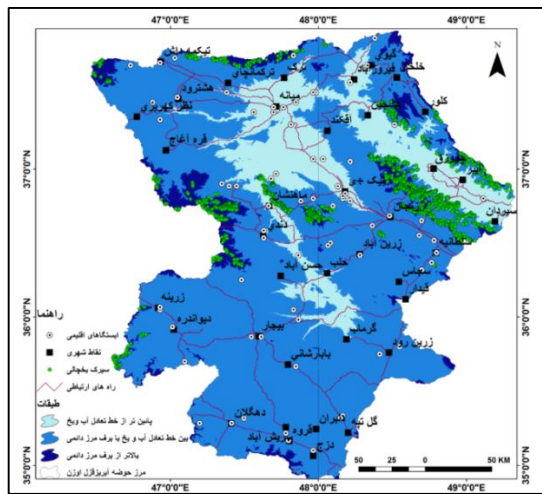
$$\text{رابطه (۳)} \quad Mo=L+(d_1+d_2)*h$$

در رابطه (۳) L حد پایین طبقه نما دار، d_1 و d_2 به ترتیب تفاضل فراوانی رده ماقبل و رده مبعد طبقه نمادار از فراوانی طبقه نمادار و h بیانگر فاصله رده‌ها از هم است. برای مقایسه ارتفاع متوسط سیرک‌های یخچالی و ارتفاعی که آن‌ها بیشترین فراوانی را دارند میانگین حسابی، مد یا نما هریک از جهات برآورد می‌گردد (سیف و همکاران، ۱۳۹۴؛ نقل از یمانی و همکاران، ۱۳۹۰). همان‌طوری که از جدول (۲) برمی‌آید مقدار مد یا نما در حوضه قزل‌اوزن ۲۳۷۶ متر است. طبق رابطه (۱) دمای کنونی ارتفاع برف مرز دائمی (دمای صفر درجه گذشته) هفت درجه سانتی‌گراد است. از مجموع مساحت ۵۰ هزار کیلومترمربعی قزل‌اوزن، ۳۷۹۲ کیلومترمربع بالاتر از برف مرز دائمی گذشته قرار داشته است. به عبارتی بارش $7/5$ درصد حوضه مورد مطالعه در کواترنری بلوکه می‌شده و نمی‌توانسته ماده و انرژی دریافتی را به خارج از منطقه انتقال دهد. با حرکت زبانه‌های یخچالی یا با شروع انتقال دوره سرد به گرم و افزایش دبی حاصل از ذوب برف، رسوبات به شکل یخ‌رفت و مورن‌های سرگردان بر جای گذاشته شده است. در دوره یخچالی، درنتیجه کم شدن دبی و تخلیه‌ی کم

کیلومترمربع بالاتر از ارتفاع خط تعادل آب ویخ قرار داشته است.

جدول ۲: توزیع فراوانی کف سیرک‌های یخچالی حوضه قزل‌اوزن در جهات مختلف

طبقات ارتفاعی	جهات جغرافیایی	جهات جغرافیایی								مجموع
		شمال	شمال‌غرب	غرب	جنوب‌غرب	جنوب	جنوب‌شرق	شرق	شمال‌شرق	
۲۰۰۰-۲۱۰۰	۲۷	۲	۹	۶	۶	۲	-	۱	۱	۸/۸۵
۲۳۰۰-۲۴۰۰	۳۴	۴	۸	۷	۳	۴	۱	۱	۳	۱۱/۱۵
۲۴۰۰-۲۳۰۰	۲۵	۳	۴	۵	۳	۳	۲	۳	۲	۸/۲
۲۵۰۰-۲۴۰۰	۱۵	-	۳	۱	۳	-	۱	۴	۳	۴/۹۲
۲۶۰۰-۲۵۰۰	۱۶	۳	۱	۱	۲	۵	۲	-	۲	۵/۲۵
۲۷۰۰-۲۶۰۰	۲۷	۳	۳	۷	۲	۲	۵	۳	۲	۸/۸۵
۲۸۰۰-۲۷۰۰	۲۸	۴	۷	۳	۵	۴	۱	-	۴	۹/۱۸
۲۹۰۰-۲۸۰۰	۴۳	۷	۳	۳	۵	۷	۷	۷	۴	۱۴/۱
۳۰۰۰-۲۹۰۰	۳۸	۴	۵	۳	۴	۷	۶	۵	۴	۱۲/۴۶
۳۱۰۰-۳۰۰۰	۲۲	۴	۶	۱	۱	۱	۴	۲	۳	۷/۲۱
۳۲۰۰-۳۱۰۰	۱۴	-	۱	-	۱	۳	۴	۲	۳	۴/۶
۳۳۰۰-۳۲۰۰	۱۰	۲	-	۴	-	۲	۱	-	۱	۳/۲۸
۳۴۰۰-۳۳۰۰	۷	-	-	۱	۱	۳	۱	-	۱	۲/۳
جمع	۳۰۵	۳۷	۵۱	۴۲	۳۸	۴۳	۳۵	۲۶	۳۳	۱۰۰
میانگین ارتفاع (متر)	-	۲۵۸۱	۲۵۶۷	۲۵۷۱	۲۵۹۹	۲۷۷۵	۲۸۲۰	۲۶۲۳	۲۶۶۸	۲۶۵۰
نما (متر)	-	۲۲۵۵	۲۲۲۰	۲۴۴۶	۲۸۴۰	۲۹۰۰	۲۸۸۶	۲۷۵۸	۲۷۰۰	۲۳۷۶
سیرک‌های رو به قطب					مقدار نما					۲۴۴۸
سیرک‌های رو به استوا					مقدار نما					۲۸۰۷
ΔELA					اختلاف در دو دامنه					۳۵۹



شکل ۳: مناطق بالاتر از برف مرز دائمی و خط تعادل آب ویخ گذشته قزل‌اوزن

انرژی آزادشده مواد بلوکه شده با تغییر نوع و شدت بارش، باعث افزایش بار رسویی رودخانه‌ها و متحول شدن پادگانه‌ها شده است. مستندات میدانی

در واقع این مساحت بین برف مرز و آب ذوبان قرار دارد که ۶۵ درصد وسعت قزل‌اوزن را شامل می‌شود (شکل ۳). در دوره‌های بین یخچالی همسوئی

در جدول (۳) بیان شده است. با توجه به جدول (۳) نیمیرخ عرضی پادگانهای یخچالی به جز دیواندره و حاجی موسی، نامتقارن است و سطوح پادگانهای عریض تر و مشخص تری دارند.

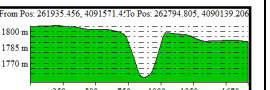
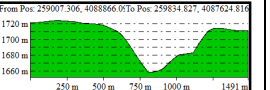
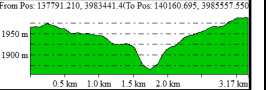
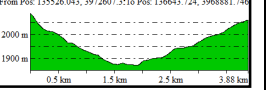
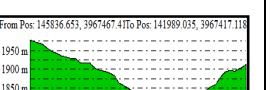
حاکی از نامنظم بودن ساختمان رسوبات و اندازه دانه‌های تشکیل‌دهنده پادگانهای یخچالی است (شکل ۴). خصوصیات پادگانه رودخانه‌های سهرين، سارمساقلو، ارمغانخانه، دیواندره، حاجی موسی و کوله



شکل ۴: پادگانه‌های یخچالی - تکتونیکی (T1) و آبی (T2) رودخانه‌ی سارمساقلو

جدول ۳: پروفیل‌های پادگانه‌های یخچالی به همراه ارتفاع سطوح

لیتوژوئی	اختلاف ارتفاع بالاترین پادگانه (متر)	ارتفاع بسترفلی (متر)	ارتفاع پادگانه‌ها در ساحل (متر)		پروفیل پادگانه	مختصات جغرافیائی (E,N) (درجه)	رودخانه	ردیف
			چپ	راست				
کنگلومرا، سیلت استون و ماسه سنگ با مارن	۶۷	۱۸۶۳	۱۹۳۰ ۱۹۲۰ ۱۹۱۵	۱۸۹۷ ۱۸۸۶		۳۶/۸۶ ۴۸/۴۲	سهرين	۱
کنگلومرا، سیلت استون و ماسه سنگ با مقداری مارن	۲۲	۱۷۰۳	۱۷۲۵ ۱۷۲۰	۱۷۲۵ ۱۷۲۰ ۱۴۱۴		۳۶/۸۲ ۴۸/۳۷	سهرين	۲
کنگلومرا، سیلت استون و ماسه سنگ با مقداری مارن	۱۶	۱۶۱۴	۱۶۳۰ ۱۶۲۳	۱۶۳۰		۳۶/۸۰ ۴۸/۳۳	سهرين	۳
کنگلومرا، سیلت استون و ماسه سنگ با مقداری مارن	۷۱	۱۶۵۷	۱۷۳۰ ۱۶۸۹	۱۷۳۰ ۱۶۸۷		۳۶/۷۶ ۴۸/۴۳	سارمساقلو	۴
کنگلومرا، سیلت استون و ماسه سنگ با مقداری مارن	۵۵	۱۶۰۰	۱۶۵۵ ۱۶۳۸ ۱۶۱۲	۱۶۵۵		۳۶/۷۶ ۴۸/۳۹	سارمساقلو	۵
کنگلومرا، سیلت استون و ماسه سنگ با مقداری مارن	۴۵	۱۵۴۰	۱۵۸۵	۱۵۸۵ ۱۵۵۱		۳۶/۷۴ ۴۸/۳۳	سارمساقلو	۶
کنگلومرا، سیلت استون و ماسه سنگ با مارن	۳۸	۱۸۶۵	۱۹۱۵	۱۹۰۳ ۱۸۸۹		۳۶/۹۶ ۴۸/۳۶	ارمغانخانه	۷

لیتوژوئی	اختلاف ارتفاع بالاترین پادگانه (متر)	ارتفاع بسترفلی (متر)	ارتفاع پادگانه‌ها در ساحل (متر)		پروفیل پادگانه	مختصات جغرافیایی (E,N) (درجه)	رودخانه	ردیف
			چپ	راست				
سنگ با مقداری مارن								
کنگلومرا، سیلت استون و ماسه سنگ با مقداری مارن	۴۴	۱۷۵۶	۱۸۰۰	۱۸۰۰		۳۶/۹۳ ۴۸/۳۳	ارمناخانه	۸
کنگلومرا، سیلت استون و ماسه سنگ با مقداری مارن	۶۰	۱۶۶۰	۱۷۱۴ ۱۶۸۲	۱۷۲۰		۳۶/۹۰ ۴۸/۲۹	ارمناخانه	۹
تنابو کنگلومرا و مارن	۱۰۲	۱۸۶۵	۱۹۶۷ ۱۹۵۱ ۱۹۲۰	۱۹۶۱ ۱۹۵۱ ۱۹۵۲		۹۳/۳۵ ۴۶/۹۹	دیواندره	۱۰
تنابو کنگلومرا و مارن	۱۳۳	۱۸۷۷	۲۰۱۰ ۱۹۶۴ ۱۹۱۳	۲۰۰۰ ۱۹۴۵ ۱۹۰۰		۳۵/۸۱ ۴۶/۹۷	حاجی موسی	۱۱
کنگلومرا قرمز و مارن	۱۳۵	۱۷۹۵	۱۸۹۴ ۱۸۵۸ ۱۸۳۸ ۱۸۳۰	۱۹۳۰ ۱۹۱۴ ۱۸۹۴ ۱۸۵۸ ۱۸۳۸ ۱۸۳۰		۳۵/۷۷ ۴۷/۰۳	کوله	۱۲

مقابل کاملاً هم ارتفاع نیستند که احتمالاً نشانه عدم تقارن دره یخچالی قبلی است (محمودی، ۱۳۸۳: ۲۰۷-۲۰۸). با توجه به شواهد زئومورفولوژیکی، منشأ دره‌های U شکل سمت راست زنجان رود بانام‌های سارمساقلو، ارمغانخانه و شهرین تا اطراف روستای کوشکن در ارتفاع ۱۵۵۰ متری، ترکیبی از یخچال، تکتونیک و آب است. بر اساس همین شواهد و با توجه به ویژگی توپوگرافیکی، دره سه‌برین احتمالاً شرایط مساعدتری برای تراکم یخچال کواترنری داشته که توانسته پایین ترین ارتفاع خط تعادل آب و بخ گذشته را داشته باشد (جعفری و اصغری سراسکانروود، ۱۳۹۳: ۱۹). (شکل ۵).

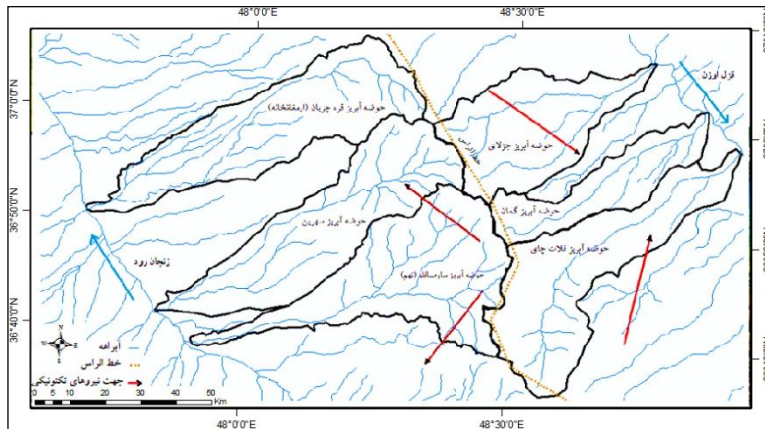
نیمرخ عرضی دره‌های یخچالی اغلب متفاوت و نامنظم است. بر شعری آن‌ها اشکال متفاوتی مانند تخم مرغی، تشته و U را نشان می‌دهد. این تفاوت‌ها نتیجه اختلاف مقاومت سنگ‌های بستر و نحوه حفر و سرانجام چگونگی تراکم یخ‌رفتها است. یکی از مشخص ترین عارضه آن، وجود شانه‌هایی است که طرفین یک دره یخچالی را محدود می‌سازد. در این صورت وجود آن‌ها دال بر تکرار دوره‌های یخچالی است؛ یعنی دره‌های پهن و مسطح در دوره‌های V شکل یخچالی برای فرسایش آبی به صورت دره‌های درآمده و در دوره یخچالی بعد، برای زبانهٔ یخی، مجدداً به دره‌ای U شکل تبدیل شده است. اغلب تراس‌های



شکل ۵: پراکندگی مورن‌های سرگردان بر روی پادگانهای یخچالی رودخانه شهرین

غالب است. چنین عملکردی باعث شده که پوسته زمین براثر نیروهای کششی از خطالرأس به سمت زنجان رود، حالت واگرا و در حوضه گمان، طرف حوضه آبریز قزل‌وزن، براثر نیروهای فشاری، حالت همگرا داشته باشد. درنتیجه دره‌های عمیق تر و حوضه‌های کشیده تری در طرف طارم، به خصوص در راستای حوضه آبی تهم (حوضه گمان) ایجادشده است. نیروهای کششی هرچند در مجاور خطالرأس‌ها منجر به عریض تر شدن حوضه آبی تهم شده‌اند ولی با دور شدن از خطالرأس، منجر به انحراف رودها از مسیر مستقیم شده است (شکل ۶). همان‌طور که از شکل (۶) برمی‌آید یک گستاخی و شکاف در محل حوضه سارمساقلو دیده می‌شود که ناشی از نیروهای کششی مسلط بر این منطقه است. انکاس این تحولات در نقشه زمین‌شناسی طارم و زنجان با تغییر امتداد ناهمواری‌ها قابل‌ردیابی است که منجر به تغییر وضعیت نیروهای درونی در یک فاصله کم در امتداد خطالرأس کوهستان، از کششی (غرب) به فشاری (شرق) شده و نتیجه آن به صورت بی‌قاعده‌گی و بی‌نظمی گسل‌های دو طرف خطالرأس کوهستان، قابل‌ردیابی است (شکل ۷).

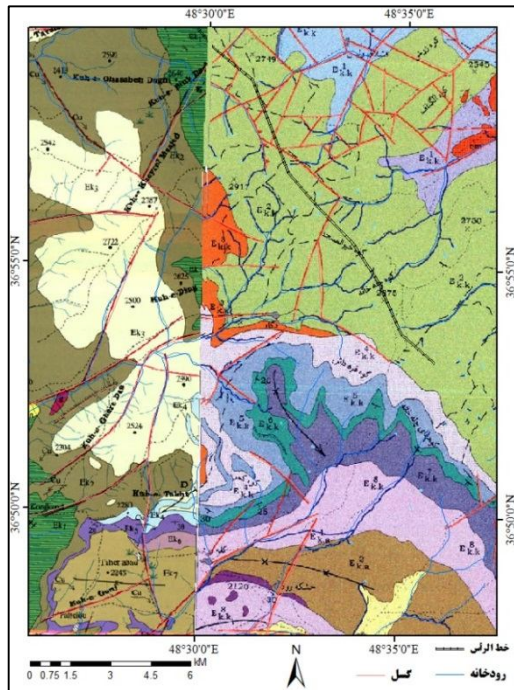
یافته‌های رستم‌خانی (۱۳۹۳) حاکی از آن است که گسل تهم (سارمساقلو) نقش محوری را در بین گسل‌های شمالی زنجان رود به عهده دارد. حوضه آبی زنجان رود، توسط ارتفاعاتی در شمال و جنوب محصورشده است. امتداد ارتفاعات شمالی با گذر از نصف‌النهار $48/56$ درجه شرقی، به سمت شمال منحرف شده است. گسل تهم همانند یک لولا، امتداد ناهمواری‌ها را در حدود $22/4$ درجه به سمت شمال تغییر داده است. بعدازین گسل امتداد کوههای شمالی زنجان از روند شمالی-جنوبی به شمال غرب-جنوب شرق تغییر کرده است. نقطه ثقل و کانون تغییر امتداد ناهموارها در خطالرأس قرار دارد، به همین منظور به نظر می‌رسد مرکز ثقل انرژی‌های واردہ بر این قسمت از ایران، به صورت نیروهای کششی در حوضه تهم و فشاری در حوضه گمان بوده است. در راستای یافته‌های رامشت (۱۳۸۵) مقدار جابه‌جایی در طول یک گسل، یکسان و همانند نیست و ممکن است بخشی از گسل به صورت فشارشی و بخشی دیگر آن به صورت کششی عمل نماید. در گسل تهم از خطالرأس ارتفاعات شمالی زنجان به طرف قزل‌وزن نیروی فشاری و به سمت زنجان رود نیروی کششی



شکل ۶: وضعیت حوضه‌های آبریز در غرب و شرق خط الرأس ارتفاعات شمالی زنجان

جهه‌ی کوهستان، به شدت تحت تأثیر گسل قرار گرفته و در اثر این انطباق، علاوه بر انحراف از مسیر رودخانه، به برش عمقی به طول چند کیلومتر در بستر پرداخته است. مقدار عمق کنی دره سه‌رین به بیش از ۵ متر می‌رسد، چنین عملکردی باعث شده که آب‌ها در درجه اول شکاف‌های عمیق و باریکی در بستر رودخانه ایجاد کنند سپس در طغیان‌های بعدی با گسترش عرضی شکاف، بستر عریض و آبشخور مانند رودخانه شکل گیرد. درنتیجه چنین عملکردی در ساحل راست رودخانه سه‌رین می‌توان افتادگی پادگانه مانندی با عرض $1/5$ متر و ارتفاع ۲ متر را ملاحظه نمود. ارتفاع پادگانه در محل متأثر از گسل ۲۲ متر و در پادگانه مجاور و بالاتر از آن ۹ متر است، اختلاف ارتفاع ۱۳ متری، می‌تواند دال بر میزان اثرگذاری گسل در ایجاد پادگانه نامتقارن باشد (شکل ۸).

همان‌طور که از شکل (۷) بر می‌آید تراکم گسل در طرف غرب (تهم)، کم و اکثر آن‌ها به صورت موازی هستند که توسط گسل‌های فرعی تر به هم متصل شده‌اند. در دامنه‌های مخالف گسل تهم یعنی در طارم، در اثر فاز فشاری و کمپرسیونی و متعاقب آن، برهم خوردن لایه‌های زمین، گسل‌های متعددی شکل گرفته‌اند که مسیر آبراهه‌ها را در کوهستان تعیین می‌کنند. آب‌ها مجبور به تبعیت از خطوط گسلی و جاری شدن در امتداد آن‌ها شده‌اند. عمق کنی و حفر بستر رودخانه‌ها در دشت‌هایی با شیب بسیار کم (حدود ۲ درصد) و جریان یافتن در یک مسیر خطی عمیق و عریض از آثار فاز کششی و واگرایی است. رودخانه‌ها در محلی جریان دارند که نیروی کششی غالب، منجر به باز شدن بیشتر بستر رودخانه می‌شود. مسیر رودخانه‌های سه‌رین، سارمساقلو و قره‌چریان در پایین تر از سینوزیته



شکل ۷: عملکرد متفاوت گسل‌ها در دو سمت خطالرأس نقشه زمین‌شناسی



شکل ۸: پادگانه حاصل از زیر برشی عمیق در بستر رودخانه سهربین
در انطباق با گسل

بیشتر نقش تسریع کننده تحول پادگانه‌ها را داشته است. تغییرات آب و هوایی، با پایین آوردن ارتفاع برف مرز دائمی در دوره‌های یخچالی، باعث شده که مساحت زیادی از حوضه بارش خود را به صورت برف دریافت کند و از طریق متلاشی کردن سنگ‌ها در دمای صفر درجه‌ی سانتی‌گراد (پدیده‌ی کریوکلاستی)، اقدام به ایجاد و انباشت رسوب در حوضه نماید و با حرکت زبانه‌های یخچالی در شروع انتقال هواهای سرد به گرم و افزایش دبی حاصل از ذوب برف، شرایط ایجاد برش بزرگ تر و تخلیه‌ی زیاد بار رسوبی فراهم گردید. ارتفاع برآورد شده از روش رایت و ارتفاع کف سیرک پورتر در حوضه آبریز قزل‌اوزن حاکی از آن است که حدود ۷/۵ درصد حوضه در

نتیجه‌گیری

تغییرات آب و هوایی، به ویژه در دوره‌های یخچالی و بین یخچالی از طرفی هم باعث تغییرات سطح آب دریای خزر و از طرف دیگر با کاوش دره‌ها در دوره‌های مرطوب و تراکم آبرفت‌ها در زمان‌های خشک و نیمه‌خشک در ارتباط بوده است. طبق بررسی‌های به عمل آمده و تحقیقات محمودی (۱۳۵۲)، تأثیر یخچال بر شکل‌گیری پادگانه‌های بخش سراب قزل‌اوزن (کردستان) بیشتر بوده است. اگرچه تأثیر این عامل را بر شکل‌گیری پادگانه‌های بخش‌های میانی و سفلای قزل‌اوزن نمی‌توان نادیده گرفت ولی باید پذیرفت که این عامل در این بخش‌ها

قره‌چریان ۶۰ متر است. تعداد پادگانه‌ها در سارامساقلو و سهرين حداکثر به سه پادگانه می‌رسد. در شکل‌گیری اين پادگانه‌ها بر اساس مطالعات میداني و در تأييد يافته‌های جعفری و رستم خانی (۱۳۹۵) علاوه بر تكتونيك، يخچال و آب، تغيير ۲۰۰ متری سطح اساس محلی بستر قزل‌اوزن نيز نقش اساسی داشته است. در چگونگي اثرگذاري فرایندهای مختلف باید گفت که گسل‌ها نقش اصلی را در ثبات آبراهه‌ها داشته و تبعیت آبراهه و يخچال از گسل، نقش تكتونيك را در حفر بستر و ايجاد پادگانه‌ها تسريع كرده است. شواهد ميداني حاكى از آن است که در شکل‌گيرى پادگانه رودخانه‌های سهرين، سارامساقلو و ارمغانخانه علاوه بر تغييرات آب‌وهوابي، گسل‌های ميكرو نيز نقش داشته‌اند، به طوری که على رغم شيب بسيار کم رودخانه، برش‌های خطی با عمق بيش از ۵ متر در بستر ايجادشده است. گسترش عرضی چنین برش‌هایی بر اثر آب در شرایط کنونی و يخچال در دوره‌های سرد کواترنري، درههای آبخسخور مانند U شکلی ايجاد کرده که تا دشت‌های هموار و پايانين تراز ارتفاع خط تعادل آب‌وهاب کواترنري امتداد دارند.

منابع

- ابطحى، سيدمرتضى. ۱۳۹۲. بررسى پاثولوکليمائى حوضه آبخيز جاجروم به كمك شواهد يخچالى. کاوش‌های جغرافیایی مناطق بیابانی، سال اول، شماره اول، بهار و تابستان، صص ۲۰۱-۱۸۵.
- بايگان، محمدرضا. ۱۳۸۷. آيین‌های بهاری مردمان حاشية رودخانه قزل‌اوزن، فصلنامه فرهنگ مردم ايران، شماره ۱۵، صص ۱۱۷-۹۹.
- تيموري يانسرى، زينب. سيدرضا حسین‌زاده و عطالله کاويان و حميدرضا پورقاسمى. ۱۳۹۷. مدل سازی و برآورد حجم زمين لغزش ها بر پایه مساحت در حوزه آبخيزچهاردانگه (استان مازندران). آمایش جغرافیایی فضای دوره ۸، شماره ۳۰، صص ۹۴-۷۹.
- جدارى عيوضى، جمشيد. ۱۳۸۳. ژئومورفولوژى ايران. چاپ هفتم، تهران، دانشگاه پيام نور.
- جعفرى، غلامحسن. اصغر رستم خانى. ۱۳۹۵. عنوان شواهد ژئومورفولوژيکى گسل‌های ارمغانخانه و تهم.

دوره‌های سرد کواترنري تحت تأثير فرایند بلوکه شدن بارش و تشکيل يخچال بوده است که خروجى آن در آثار سيرکى شناسايى شده قبله ديدىابي است. برآورد ارتفاع خط تعادل آب‌وهاب منطقه نيز حاكى از آن است که ۶۵ درصد از حوضه تحت تأثير فرایند مجاور يخچالى بوده و می‌توانسته متأثر از زبانه‌های منشعب شده از سيرک‌های يخچالى باشد ولی شواهد ميداني حاكى از آن است که بيشتر يخچال‌های تغذيه‌كشند از کوههای شاهو (۳۴۹۰ متر) سهند (۳۷۰۷ متر) و خيرالمسجد (۲۹۷۰ متر) توanstه‌اند زبانه‌های خود را به خارج از کوهستان هدایت نمايند که نتيجه آن شکل‌گيرى درههای U شکل و تراس‌هایي است که با توجه شواهد ميداني مثل سورن های سرگردان تا ارتفاع ۱۶۷۰ متری را متأثر کرده‌اند. رسوبات پادگانه‌های آبرفتی تا اين ارتفاع جور نشده و تركيبی از ذرات ريز تا سنگ‌های بزرگ، با قطر بيش از يك متر دارند. مناطق مذكور با توجه به قرارگيرى شان نسبت به آبراهه اصلی قزل‌اوزن، كمتر تحت تأثير تغيير سطح اساس‌های محلی و منطقه‌ای قرار گرفته‌اند و حافظ موادرث اقليمي کواترنري حوضه آبريز هستند. بر اساس پروفيل‌های ترسیم شده و مشاهدات ميداني در سه زیر حوضه دیواندره، حاجى‌آباد و كوله در سراب قزل‌اوزن، عميق ترین پادگانه‌های آبی- يخچالى شکل گرفته‌اند. شش پادگانه در اين زير‌حوضه‌ها قبله‌شناسايى است که اختلاف ارتفاع بستر آبی کنونى آن‌ها با مرتفع ترین پادگانه اطراف به بيش از ۱۰۰ متر می‌رسد. اين اختلاف ارتفاع در حوضه كوله ۱۳۵ متر است. در زير‌حوضه‌های زنجان رود (سهرين، سارامساقلو و ارمغانخانه یا قره‌چریان) انطباق آبراهه‌ها و زبانه‌های يخچالى دوره‌های سرد کواترنري بر گسل‌های منطقه، درههای آبی- يخچالى- تكتونيكى را ايجاد کرده است که هرچند عمق آن‌ها نسبت به درههای واقع در سراب قزل‌اوزن كمتر است ولی تفاوت ارتفاعی آن‌ها نسبت به دشت‌های منطقه به گونه‌ای است که می‌توان آن‌ها را نمادی از آشوب در دشت‌های منطقه دانست. اختلاف ارتفاع کف دره‌ها از دشت با شيب زيد در سارامساقلو ۷۱، سهرين و ۶۷ و

۱۴. عابدینی، موسی. امید رحیمی. ۱۳۹۲. تراس‌های رودخانه‌ای شاهدی بر تغییرات اقلیمی در هولومن (مطالعهٔ موردنی: رودخانه‌ی قزل‌اوزن در محدوده استان کردستان). دومین همایش ملی انجمن ایرانی ژئومورفولوژی، ژئومورفولوژی و پایش تغییرات محیطی، دانشکدهٔ جغرافیا، دانشگاه تهران، صص ۳۵-۳۸.
۱۵. فروتن، محمد. حمید نظری و برتراند میر و میش لس بریر و مرتضی فتاحی و همکاران. ۱۳۹۰. آهنگ لغزش راست برگسل دهشیر در بازه‌ی زمانی پلثیستوسن، پایانی‌هولومن، فلات ایران مرکزی. علوم زمین، سال ۲۱، شماره‌ی ۸۲، صص ۲۰۶-۱۹۵.
۱۶. کرمی، فریبا. عبدالحمید رجایی. ۱۳۸۳. نقش زمین‌ساخت در تحول زمین‌ریخت‌شناسی پای کوه‌های شمالی رشته‌کوه بزقوش. علوم زمین، سال یازدهم، شماره‌ی ۵۱-۵۲، صص ۷۷-۶۸.
۱۷. کریمیان، اقبال. مصطفی ترابی و حسین گل‌سفیدی. ۱۳۸۱. بررسی تکامل خاک در یک ردیف زمانی روی پادگانه‌های حاشیه رودخانه سفیدرود در گیلان مرکزی. علوم خاک و آب، جلد ۱۶، شماره‌ی ۱، صص ۱۱۱-۹۵.
۱۸. محمودی، فرج ۱۳۵۲. جغرافیای ناحیه‌ای قروه، بیجار، دیواندره. طرح پژوهشی کردستان، نشریه‌ی شماره‌ی ۹. تهران، دانشگاه تهران.
۱۹. محمودی، فرج ۱۳۸۳. ژئومورفولوژی دینامیک. چاپ ششم، تهران، دانشگاه پیام نور.
۲۰. معتمد، احمد. ۱۳۸۲. جغرافیای کواترنر. چاپ اول، تهران، سمت.
۲۱. معینی، ابوالفضل. حسن احمدی و محمدجعفری و سادات فیض نیا و فریدون سرمدیان. ۱۳۸۸. تعیین سن پادگانه‌های کواترنر (مطالعه‌ی موردنی: حوضه آبخیز طالقان). جغرافیای طبیعی، سال دوم، شماره‌ی ۵، صص ۴۸-۳۹.
۲۲. مقیمی، ابراهیم. ۱۳۸۹. ژئومورفولوژی ایران. تهران، دانشگاه تهران.
۲۳. نعمت‌الهی، فاطمه. محمدمحسن رامشت. ۱۳۸۴. آثار یخساری در ایران. نشریه دانشکده علوم انسانی تبریز، شماره‌ی ۳، صص: ۱۶۳-۱۴۳.
۲۴. نگارش، حسین. ۱۳۹۱. ژئومورفولوژی ساختمانی و دینامیک. تهران، انتشارات مندیز.
۲۵. یمانی، مجتبی. علی‌اکبر شمسی‌پور و مریم جعفری اقدام. ۱۳۹۰. بازسازی برف مرزهای پلیوستوسن در تحقیقات کاربردی علوم جغرافیایی، سال شانزدهم، شماره‌ی ۴۳، صص ۱۷۳-۱۴۹.
۶. جعفری، غلام‌حسن. صیاد اصغری سراسکانزود. ۱۳۹۳. بررسی آثار یخچالی کواترنری زنجان رود. پژوهش‌های ژئومورفولوژی کمی، سال سوم، شماره‌ی ۲، صص ۳۰-۳-۱۶.
۷. حیدری، اسدالله. ابراهیم مقیمی. ۱۳۸۶. ژئومورفولوژی و مدیریت سیستمی رودخانه‌ها، مطالعه‌ی موردنی: حوضه قرنقوچای تا سد سهند (هشتود). جغرافیا، سال پنجم، شماره‌ی ۱۴، صص ۱۱۹-۱۳۷.
۸. داوودی، الهام. شبیانیان بروجنی، الهام داوودیان و علیرضا دهکردی. ۱۳۹۱. بررسی اندیس‌های مورفومتری رسوبات پادگانه‌های آبرفتی رودخانه زاینده‌رود در برخی نقاط انتخابی. ششمین همایش ملی زمین‌شناسی، دانشگاه پیام نور مرکز کرمان، صص ۲۰-۱۸.
۹. رامشت، محمدمحسن. ۱۳۸۵. تحلیل تطبیقی رفتار هیدرولوژیک رودخانه کر در شبکه ژئونروتیک. جغرافیا و توسعه ناحیه‌ای، شماره‌ی ۵، بهار و تابستان، صص ۶۹-۵۱.
۱۰. رستم‌خانی، اصغر. ۱۳۹۳. پایش ساختار ژئوکلیماتیک مخروطهای افکنه بستر قزل‌اوزن، پایان‌نامه کارشناسی ارشد هیدرولوژیک و زمین‌شناسی. جغرافیا و برنامه‌ریزی انسانی، گروه جغرافیا.
۱۱. رضایی مقدم، محمدمحسن. محمدرضا ثروتی و صیاد اصغری سراسکانزود. ۱۳۹۱. بررسی تغییرات شکل هندسی رودخانه قزل‌اوزن با تأکید بر عوامل ژئومورفولوژیک و زمین‌شناسی. جغرافیا و برنامه‌ریزی محیطی، سال ۲۳، پیاپی ۴۶، شماره‌ی ۲، صص ۱-۱۴.
۱۲. سیف، عبدالله. محمدرضا ثروتی و محمد راهدان مفرد. ۱۳۹۴. بازسازی برف مرزهای کواترنری پایانی در محدوده سایت ریگ. تحقیقات جغرافیایی، سال ۳۰، شماره‌ی ۱۱۶، صص ۲۰۸-۱۹۳.
۱۳. شریفی، محمد، زهرا فرج بخش. ۱۳۹۴. بررسی آنومالی حرارتی و رطوبتی بین زمان حال و پلثیستوسن و بازسازی شرایط اقلیمی با استفاده از شواهد ژئومورفیک (مطالعه‌ی موردنی: حوضه خضرآباد-بیزد). پژوهش‌های جغرافیای طبیعی، دوره ۴۷، شماره‌ی ۴، صص ۶۰۵-۵۸۳.

- England: evidence from the river terrace records. *Geomorphology*, 33(3): 167-181.
34. Stokes, Martin. James S. Griffiths and Anne Mather. 2012. Palaeoflood estimates of Pleistocene coarse grained river terrace landforms (Río Almanzora, SE Spain). *Geomorphology*, 149: 11-26.
35. Moody, J.A. and Meade, R.H. 2008. Terrace aggradation during the 1978 flood on Powder River, Montana, USA. *Geomorphology*, 99(1): 387-403.
36. Devrani, Rahul. Vimal Singh. 2014. Evolution of valley-fill terraces in the Alaknanda Valley, NW Himalaya: Its implication on river response studies. *Geomorphology*, 227: 112-122.
37. Kar, Rimpal. Tapan Chakraborty, Chandan Chakraborty, Parthsarathi Ghosh, Anil K. Tyagi and Ashok, K. Singhvi. 2014. Morpho-sedimentary characteristics of the Quaternary Matiali fan and associated river terraces, Jalpaiguri, India: Implications for climatic controls. *Geomorphology*, 227, 137-152.
38. Doğan, Uğur. 2011. Climate-controlled river terrace formation in the Kızılırmak Valley, Cappadocia section, Turkey: inferred from Ar-Ar dating of Quaternary basalts and terraces stratigraphy. *Geomorphology*, 126(1): 66-81.
39. Viveen, W., Schoorl, J.M., Veldkamp, A., Van Balen, R.T., Desprat, S. and Vidal-Romani, J.R. 2013. Reconstructing the interacting effects of base level, climate, and tectonic uplift in the lower Miño River terrace record: a gradient modeling evaluation. *Geomorphology*, 186: 96-118.
40. Huang, Wei-liang. Xiao-ping Yang, An Li, Jessica A. Thompson and Ling Zhang. 2014. Climatically controlled formation of river terraces in a tectonically active region along the southern piedmont of the Tian Shan, NW China. *Geomorphology*, 220: 15-29.
41. www.ngdir.ir/pdefault.asp.
- حوضه جاجرود. پژوهش‌های جغرافیایی طبیعی، شماره ۳۵-۵۰، صص ۷۶. یمانی، مجتبی. حمید کامرانی دلیر و سجاد باقری. ۱۳۹۰. مورفومتری و ارزیابی شاخص‌های ژئومورفیک برای تعیین میزان فعالیت نو زمین‌ساخت در حوضه آبریز چله (زاگرس شمال غربی). *تحقیقات جغرافیایی*، شماره ۹۷، صص ۱-۲۶.
27. Alberti, Augusto Pérez. Alberto Gomes and Alan Trenhaile and Maria Oliveira, and Jesus Horacio. 2013. Correlating river terrace remnants using an Equotip hardness tester: An example from the Miño River, northwestern Iberian Peninsula. *Geomorphology*, 192: 59-70.
28. Homolová, Dana. Johanna Lomax and Petr Špaček, and Kurt Decker. 2012. Pleistocene terraces of the Vltava River in the Budějovice basin (Southern Bohemian Massif): New insights into sedimentary history constrained by luminescence data. *Geomorphology*, 161: 58-72.
29. Bridgland, David. Rob Westaway. 2008. Climatically controlled river terrace staircases: a worldwide Quaternary phenomenon. *Geomorphology*, 98(3):285-315.
30. Madritsch, Herfried. Frank Preusser and Olivier Fabbri. 2012. Climatic and tectonic controls on the development of the River Ognon terrace system (eastern France). *Geomorphology*, 151: 126-138.
31. Lewin, J. and Gibbard, P.L. 2010. Quaternary river terraces in England: forms, sediments and processes. *Geomorphology*, 120(3): 293-311.
32. Schulte, Lothar. Ramon Julià, Francesc Burjachs and Alexandra Hilgers. 2008. Middle Pleistocene to Holocene geochronology of the River Aguas terrace sequence (Iberian Peninsula): fluvial response to Mediterranean environmental change. *Geomorphology*, 98(1): 13-33.
33. Maddy, D., Bridgland, D.R. and Green, C.P. 2000. Crustal uplift in southern